

PREMIER PROBLEME: Microscope électronique
à balayage (d'après banque PT 2017)

1. Aspect électrique:

1.1) * $U = V_1 - V_2 > 0 \Rightarrow V_1 > V_2$

* $\vec{E} = -\text{grad } V \Rightarrow \vec{E}$ est dirigé dans le sens des potentiels décroissants, donc de l'armature 1 vers l'armature 2

* $\vec{F} = q\vec{E} = -e\vec{E}$ donc \vec{F} dirigée de 2 vers 1

\Rightarrow les e^- doivent être émis sur l'armature 2

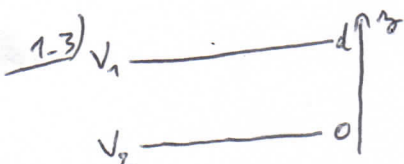
1.2) équation de Poisson: $\Delta V + \frac{\rho}{\epsilon_0} = 0$

Ceci découle de l'équation de Poisson-Gauss: $\text{div } \vec{E} = \frac{\rho}{\epsilon_0}$

ou $\vec{E} = -\text{grad } V$ (car $\text{rot } \vec{E} = -\frac{\partial \vec{B}}{\partial t} = \vec{0}$ équation de Maxwell-Faraday)

$\Rightarrow \text{div}(-\text{grad } V) = -\Delta V = \frac{\rho}{\epsilon_0}$ CQFD

Dans le vide: $\rho = 0 \Rightarrow \Delta V = 0$ (équation de Laplace)



$\Delta V = \frac{\partial^2 V}{\partial z^2} + \frac{\partial^2 V}{\partial y^2} + \frac{\partial^2 V}{\partial x^2} = \frac{d^2 V}{dz^2} = 0$
unidimensionnel

$\Rightarrow V(z) = Az + B$

conditions aux limites (continuité du potentiel):

$V(0) = V_2$ et $V(d) = V_1$

$\Rightarrow V(z) = \frac{V_1 - V_2}{d} z + V_2$

$\vec{E} = -\text{grad } V = -\frac{\partial V}{\partial x} \vec{u}_x - \frac{\partial V}{\partial y} \vec{u}_y - \frac{\partial V}{\partial z} \vec{u}_z$
unidimensionnel

$\vec{E} = -\frac{dV}{dz} \vec{u}_z = -\frac{V_1 - V_2}{d} \vec{u}_z$

$\vec{E} = -\frac{U}{d} \vec{u}_z$ $\propto -\vec{u}_z$ OK dans le sens des potentiels décroissants

1.4-1) * système: $m e^-$

* référentiel: terrestre supposé galiléen

* actions: \rightarrow force électrique: $\vec{F} = -e\vec{E}$

\rightarrow poids: négligé

\rightarrow interactions entre e^- : négligées

$\Rightarrow m \vec{a} = -e\vec{E} = \frac{eU}{d} \vec{u}_z$

$\Rightarrow \vec{a} = \frac{d\vec{v}}{dt} = \frac{eU}{md} \vec{u}_z$

$\vec{v}(t=0) = \vec{0}$

$$\vec{a} \begin{pmatrix} 0 \\ 0 \\ \frac{eU}{md} \end{pmatrix} \Rightarrow \vec{v} \begin{pmatrix} c^- \\ c^- \\ \frac{eU}{md} t + c^- \end{pmatrix} = \begin{pmatrix} 0 \\ 0 \\ \frac{eU}{md} t \end{pmatrix}$$

$\Rightarrow \text{OTI} \begin{pmatrix} c^- \\ c^- \\ \frac{eU}{2md} t^2 + c^- \end{pmatrix} \uparrow = \begin{pmatrix} 0 \\ 0 \\ \frac{eU}{2md} t^2 \end{pmatrix}$
conditions initiales

$z = \frac{eU}{2md} t^2 = d$ si $t_1 = d \sqrt{\frac{2m}{eU}}$

et alors $v = \frac{eU}{md} t_1 = \frac{eU}{md} d \sqrt{\frac{2m}{eU}}$

$\Rightarrow v = \sqrt{\frac{2eU}{m}}$

Autre méthode: thm de l'énergie cinétique

$\Delta E_c = \frac{1}{2} m v^2 - 0 = W_F = \int_2^1 \vec{F} \cdot d\vec{l}$
 $= \int_2^1 -e\vec{E} \cdot d\vec{l} = -e \left(-\frac{U}{d}\right) \int_2^1 \vec{u}_z \cdot d\vec{l}$
 $= \frac{eU}{d} d = eU$

$$\frac{1}{2} m v^2 = eU \Rightarrow v = \sqrt{\frac{2eU}{m}}$$

$$v = \sqrt{2 \times 2 \cdot 10^{11} \times 10^5} \Rightarrow v = 2 \cdot 10^8 \text{ m} \cdot \text{s}^{-1}$$

$$v = 2 \cdot 10^8 \text{ m} \cdot \text{s}^{-1} \quad c = 3 \cdot 10^8 \text{ m} \cdot \text{s}^{-1}$$

⇒ la mécanique classique n'est pas utilisable, il faut utiliser la mécanique relativiste.

$$1.4.2) \quad p = m v = \frac{h}{\lambda}$$

↑
relation de de Broglie

$$\Rightarrow \lambda = \frac{h}{m v}$$

$$\lambda = \frac{7 \cdot 10^{-4}}{2 \cdot 10^8} = 4 \cdot 10^{-12} \text{ m} \quad \lambda \approx 4 \text{ pm}$$

$$1.5.1) \text{ théo de l'énergie cinétique: } \Delta E_c = W_F$$

$$\Delta E_c = \left((\gamma - 1) m c^2 \right)_{\text{final}} - \left((\gamma - 1) m c^2 \right)_{\text{initial}}$$

$$\gamma_{\text{final}} = \gamma \quad \text{et} \quad \gamma_{\text{initial}} = \frac{1}{\sqrt{1 - \left(\frac{v}{c}\right)^2}} = 1$$

$v=0$

$$\Rightarrow \Delta E_c = (\gamma - 1) m c^2 = W_F = eU$$

↑
cf 1.4.1)

$$\Rightarrow \gamma = 1 + \frac{eU}{m c^2}$$

$$\text{relation de de Broglie } p = \frac{h}{\lambda} \quad \text{ou} \quad p = \gamma m v$$

$$\Rightarrow \lambda = \frac{h}{\gamma m v}$$

$$\text{ou } \gamma = \frac{1}{\sqrt{1 - \left(\frac{v}{c}\right)^2}} \Rightarrow 1 - \left(\frac{v}{c}\right)^2 = \frac{1}{\gamma^2}$$

$$\Rightarrow v = c \sqrt{1 - \frac{1}{\gamma^2}}$$

$$\Rightarrow \lambda = \frac{h}{m c \sqrt{\gamma^2 - 1}}$$

$$1.5.2) \quad \gamma = 1 + \frac{eU}{m c^2} = 1 + 2 \cdot 10^{11} \frac{10^5}{(3 \cdot 10^8)^2}$$

$$\gamma = 1 + \frac{2}{9} = \frac{11}{9} \Rightarrow \gamma \approx 1,2$$

$$\lambda = \frac{h}{m c \sqrt{\gamma^2 - 1}} = \frac{7 \cdot 10^{-4}}{3 \cdot 10^8 \sqrt{\left(\frac{11}{9}\right)^2 - 1}} = \frac{7}{3 \times 0,7} 10^{-12}$$

$$= \frac{10}{3} \cdot 10^{-12} = 3 \cdot 10^{-12} \text{ m}$$

$$\Rightarrow \lambda \approx 3 \text{ pm}$$

1.5.3) * λ varie très peu entre les 2 modèles

$$\left(\frac{7}{2} = 3,5 \mid \frac{10}{3} = 3,3 \right)$$

* Avantage du microscope électronique / microscope optique:

$$\lambda_e = 3 \text{ pm} \ll \lambda_{\text{photon}} = 500 \text{ nm}$$

⇒ la résolution sera bien meilleure car on sera beaucoup moins limité par la diffraction.
⇒ on pourra observer des objets de taille bien plus faible.

Premier problème: Microscope électronique à balayage
(d'après laque PT 2017)

2. Déflecteur magnétique:

2.1) force de Lorentz: $\vec{F} = q\vec{v} \wedge \vec{B} = -e\vec{v} \wedge \vec{B}$

puissance: $\mathcal{P} = \vec{F} \cdot \vec{v} = \underbrace{(q\vec{v} \wedge \vec{B})}_{\perp \vec{v}} \cdot \vec{v} = 0$

donc la force de Lorentz ne travaille pas.

système: $m e$

référentiel: terrestre supposé galiléen

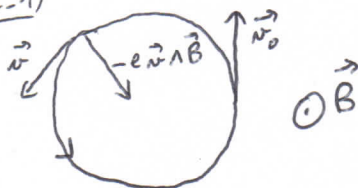
actions: \rightarrow force de Lorentz
 \rightarrow poids négligé

théorème de l'énergie cinétique: $\Delta E_c = W$

ou $W = 0 \Rightarrow \Delta E_c = 0 \Rightarrow v = c^{\frac{E_c}{m_0 c^2}} = v_0$

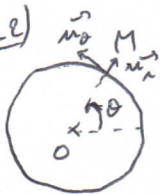
\Rightarrow mouvement uniforme

2.2.1)



$-e\vec{v} \wedge \vec{B}$ est centripète, d'où le sens de \vec{B}

2.2.2)



$$\vec{ON} = R \vec{u}_n$$

$$\vec{v} = R \dot{\theta} \vec{u}_\theta$$

$$\vec{a} = -R \dot{\theta}^2 \vec{u}_n + R \ddot{\theta} \vec{u}_\theta$$

$v = R \dot{\theta} = c^{\frac{b}{m_0 c^2}}$

$$\Rightarrow \vec{a} = \frac{-v^2}{R} \vec{u}_n$$

RFD: $m \vec{a} = -e \vec{v} \wedge \vec{B}$

$$\Rightarrow -\frac{m v^2}{R} \vec{u}_n = -e v B \vec{u}_n$$

$$\Rightarrow R = \frac{m v}{e B}$$

2.3) $\frac{d\vec{p}}{dt} = \frac{d}{dt}(\gamma m \vec{v}) = \gamma m \frac{d\vec{v}}{dt}$

$$\gamma = \frac{1}{\sqrt{1 - \left(\frac{v}{c}\right)^2}} = c^{\frac{E_c}{m_0 c^2}} \text{ car } v = c^{\frac{E_c}{m_0 c^2}} \text{ (uniforme)}$$

$$= -e \vec{v} \wedge \vec{B}$$

\Rightarrow il suffit de remplacer m par γm

$$\Rightarrow R = \frac{\gamma m v}{e B}$$

PREMIER PROBLEME: Microscope électronique à balayage
(d'après Banque PT 2017)

3. Lentille magnétique.

3-1) * le plan contenant Γ et l'axe (Oz) est plan d'antisymétrie de la distribution de courant. Or \vec{B} est un pseudo-vecteur, donc $\vec{B}(\Gamma) \in \Delta$ ce plan

$$\Rightarrow \vec{B}(\Gamma) = B_r \vec{u}_r + B_\phi \vec{u}_\phi + B_z \vec{u}_z$$

* on a invariance de la distribution de courant par rotation autour de $(Oz) \Rightarrow \|\vec{B}\| (r, \phi, z)$

$$\Rightarrow \vec{B}(\Gamma) = B_r(r, z) \vec{u}_r + B_z(r, z) \vec{u}_z$$

3-2) \vec{B} est le plus intense là où les lignes de champ sont les plus resserrées, à savoir à l'intérieur de la bobine (propriété issue de la conservation du flux du champ magnétique).

3-3) système: e^- référentiel: terrestre supposé galiléen

actions: $\vec{F} = q \vec{v} \wedge \vec{B} = -e \vec{v} \wedge \vec{B}$

$$\vec{O}\Gamma = r \vec{u}_r + z \vec{u}_z$$

$$\Rightarrow \vec{v} = \dot{r} \vec{u}_r + r \dot{\theta} \vec{u}_\theta + \dot{z} \vec{u}_z$$

$$\Rightarrow \vec{a} = (\ddot{r} - r \dot{\theta}^2) \vec{u}_r + (2\dot{r} \dot{\theta} + r \ddot{\theta}) \vec{u}_\theta + \ddot{z} \vec{u}_z$$

$$a \quad \frac{1}{r} \frac{d}{dt} \left(r^2 \frac{d\theta}{dt} \right) = \frac{1}{r} (r^2 \ddot{\theta} + 2r \dot{r} \dot{\theta}) = 2\dot{r} \dot{\theta} + r \ddot{\theta}$$

$$\Rightarrow \vec{a} \begin{cases} \frac{d^2 r}{dt^2} - r \left(\frac{d\theta}{dt} \right)^2 \\ \frac{1}{r} \frac{d}{dt} \left(r^2 \frac{d\theta}{dt} \right) \\ \frac{d^2 z}{dt^2} \end{cases}$$

$$\vec{F} = -e \vec{v} \wedge \vec{B} = -e \begin{vmatrix} i & j & k \\ \dot{r} & r \dot{\theta} & \dot{z} \\ B_r & 0 & B_z \end{vmatrix} = \begin{vmatrix} -e r \dot{\theta} B_z \\ -e i z B_r + e i z B_z \\ e r \dot{\theta} B_r \end{vmatrix}$$

$$RFD: m \vec{a} = \vec{F} \Rightarrow \vec{a} = \frac{\vec{F}}{m}$$

$$\Rightarrow \begin{cases} \frac{d^2 r}{dt^2} - r \left(\frac{d\theta}{dt} \right)^2 = -\frac{e}{m} r \frac{d\theta}{dt} B_z \\ \frac{1}{r} \frac{d}{dt} \left(r^2 \frac{d\theta}{dt} \right) = \frac{e}{m} \left(\frac{dr}{dt} B_z - \frac{dz}{dt} B_r \right) \\ \frac{d^2 z}{dt^2} = \frac{e}{m} r \frac{d\theta}{dt} B_r \end{cases}$$

$$3-4) \frac{d^2 r}{dz^2} = -\frac{e^2}{4m^2 v_0^2} r_0 B_z^2$$

on intègre entre $-r_0$ et r_0 :

$$\Rightarrow \left(\frac{dr}{dz} \right)_{r_0} - \left(\frac{dr}{dz} \right)_{-r_0} = -\frac{e^2}{4m^2 v_0^2} r_0 \int_{-r_0}^{r_0} B_z^2 dz$$

I

$$\Rightarrow -\frac{r_0}{OA'} + \frac{r_0}{OA} = -\frac{e^2}{4m^2 v_0^2} r_0 I$$

$$\Rightarrow -\frac{1}{OA} + \frac{1}{OA'} = \frac{e^2 I}{4m^2 v_0^2} = \frac{1}{f'}$$

$$\Rightarrow f' = \frac{4m^2 v_0^2}{e^2 I}$$

3-5) $m = c^{\frac{h}{v}}$; $e = c^{\frac{h}{\lambda}}$; U finée $\Rightarrow v_0$ finée

\Rightarrow il faut agir sur I, donc sur B_z , donc sur i

\Rightarrow il faut agir sur l'intensité du courant i

dans la bobine (on peut aussi agir sur la forme et le nombre de spires).

DEUXIEME PROBLEME: lévitation magnétique
(d'après Banque PT 2010)

I) Interaction entre deux spires :

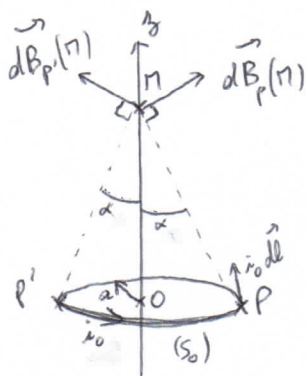
1.1) Soit $\Pi \in (Oz)$.

Tous les plans contenant l'axe (Oz) (et donc Π) sont plans d'antisymétrie de la distribution de courant.

Or \vec{B} est un pseudo-vecteur $\Rightarrow \vec{B}(\Pi) \in \Pi$ à tous ces plans, donc à leur intersection

$$\Rightarrow \vec{B}(\Pi) = B_z \vec{e}_z \quad \text{en } \Pi \in (Oz)$$

1.2)



* loi de Biot et Savart :
$$\vec{B}(\Pi) = \frac{\mu_0 i_0}{4\pi} \oint_{(S_0)} \frac{d\vec{l} \wedge \vec{PM}}{PM^3}$$

* Pq :
$$d\vec{B}_p(\Pi) = \frac{\mu_0 i_0}{4\pi} \frac{d\vec{l} \wedge \vec{PM}}{PM^3} = \text{champ créé en } \Pi \text{ par}$$

l'élément de longueur $d\vec{l}$ autour de P.

On a $d\vec{B}_p(\Pi) + d\vec{B}_{p'}(\Pi) \propto \vec{e}_z$ avec P' symétrique

de P par rapport à O.

\Rightarrow on retrouve bien que $\vec{B}(\Pi) \propto \vec{e}_z$

* or $PM = \sqrt{a^2 + z^2} = c^2$

$$\Rightarrow \vec{B}(\Pi) = \frac{\mu_0 i_0}{4\pi (a^2 + z^2)^{3/2}} \oint_{(S_0)} d\vec{l} \wedge \vec{PM}$$

* or $\vec{B} = B_z \vec{e}_z$

$$\Rightarrow B_z = \frac{\mu_0 i_0}{4\pi (a^2 + z^2)^{3/2}} \left(\oint_{(S_0)} d\vec{l} \wedge \vec{PM} \right) \cdot \vec{e}_z$$

or \vec{e}_z est un vecteur constant

$$\Rightarrow B_z = \frac{\mu_0 i_0}{4\pi (a^2 + z^2)^{3/2}} \oint_{(S_0)} \left((d\vec{l} \wedge \vec{PM}) \cdot \vec{e}_z \right)$$

* $(d\vec{l} \wedge \vec{PM}) \cdot \vec{e}_z = (\vec{PM} \wedge \vec{e}_z) \cdot d\vec{l} = (PM \sin \alpha \frac{d\vec{l}}{dl}) \cdot d\vec{l}$
↑
paramétrisation circulaire

$$= PM \sin \alpha dl = PM \frac{a}{PM} dl = a dl$$

$$\Rightarrow B_z = \frac{\mu_0 i_0}{4\pi (a^2 + z^2)^{3/2}} \oint_{(S_0)} a dl = \frac{\mu_0 a i_0}{4\pi (a^2 + z^2)^{3/2}} \oint_{(S_0)} dl$$

$$B_z = \frac{\mu_0 a^2 I_0 \cos \omega t}{2 (a^2 + z^2)^{3/2}}$$

$$\Rightarrow \vec{B}(z) = \frac{\mu_0 a^2 I_0 \cos \omega t}{2 (a^2 + z^2)^{3/2}} \vec{e}_z$$

en C : $z = a \Rightarrow \vec{B}(C) = \frac{\mu_0 a^2 I_0 \cos \omega t}{2 (2a^2)^{3/2}} \vec{e}_z$

$$\vec{B}(C) = \frac{\mu_0 I_0}{4\sqrt{2} a} \cos \omega t \vec{e}_z$$

$$\Rightarrow \vec{B}(C) = B_0 \cos \omega t \vec{e}_z \quad \text{avec } B_0 = \frac{\mu_0 I_0}{4\sqrt{2} a}$$

2) Détermination du courant dans la bobine (S) :

2.1) * C'est le phénomène d'induction qui est responsable de la présence de $i(t)$ dans (S) : il s'agit de l'induction

de Neumann (spire (S) = conducteur finie placé dans un

champ magnétique variable dans le temps \Rightarrow fem induite

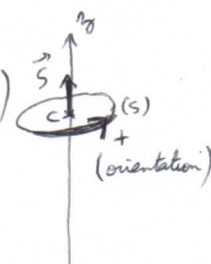
\Rightarrow courant induit car (S) est fermée).

* loi de Faraday : $e = -\frac{d\phi}{dt}$

or $\phi = \vec{B}(C) \cdot \vec{S}$ (\vec{B} supposé uniforme)

$$= + B(C) S$$

orientation spire (S) $= + B(C) \pi a^2$



or la bobine comporte N spires $\Rightarrow \phi = N \phi_{1 \text{ spire}}$

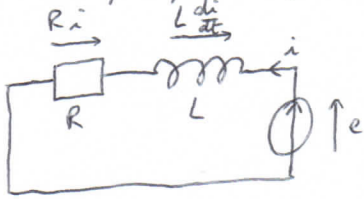
$$\Rightarrow \phi = N T l b^2 B_0 \cos \omega t$$

$$\Rightarrow \frac{d\phi}{dt} = -N T l b^2 B_0 \omega \sin \omega t$$

$$\Rightarrow e = -\frac{d\phi}{dt} = +N T l b^2 B_0 \omega \sin \omega t$$

$$\Rightarrow e = E_0 \sin \omega t \quad \text{avec} \quad E_0 = N T l b^2 \omega B_0$$

2-2) schéma électrique équivalent pour la spire (S):



loi des mailles: $e = R i + L \frac{di}{dt}$

$$\Rightarrow R i + L \frac{di}{dt} = E_0 \sin \omega t$$

$$2-3) i(t) = I \sin(\omega t - \varphi) = I \cos(\omega t - \varphi - \frac{\pi}{2})$$

$$\Rightarrow \underline{i} = I e^{j\omega t} e^{-j\varphi} e^{-j\frac{\pi}{2}}$$

$$* \sin \omega t = \cos(\omega t - \frac{\pi}{2}) \rightarrow e^{j\omega t} e^{-j\frac{\pi}{2}}$$

$$\Rightarrow R \underline{i} + L \frac{d\underline{i}}{dt} = E_0 e^{j\omega t} e^{-j\frac{\pi}{2}}$$

$$\Rightarrow (R + jL\omega) \underline{i} = (R + jL\omega) I e^{j\omega t} e^{-j\varphi} e^{-j\frac{\pi}{2}}$$

$$= E_0 e^{j\omega t} e^{-j\frac{\pi}{2}}$$

$$\Rightarrow (R + jL\omega) I e^{-j\varphi} = E_0$$

$$\Rightarrow I e^{-j\varphi} = \frac{E_0}{R + jL\omega}$$

$$\Rightarrow I = \left| \frac{E_0}{R + jL\omega} \right| \Rightarrow I = \frac{E_0}{\sqrt{R^2 + L^2\omega^2}}$$

$$\text{et } -\varphi = \arg \frac{E_0}{R + jL\omega} = -\text{Arctan} \frac{L\omega}{R}$$

$$\Rightarrow \varphi = \text{Arctan} \frac{L\omega}{R}$$

2-4)

$$I = 2 \cdot 10^{-2} \text{ A}$$

$$\varphi = 84^\circ$$

rajout d'un chiffre significatif par rapport aux données!

3) Première détermination de la force:

3-1) C'est une force de Laplace: la bobine (S) est un conducteur parcouru par un courant i placé dans un champ magnétique (créé par (S₀)).

$$3-2) d\vec{F}_L = i d\vec{l} \wedge \vec{B} \Rightarrow \vec{F}_L = \oint_{(S)} (i d\vec{l} \wedge \vec{B})$$

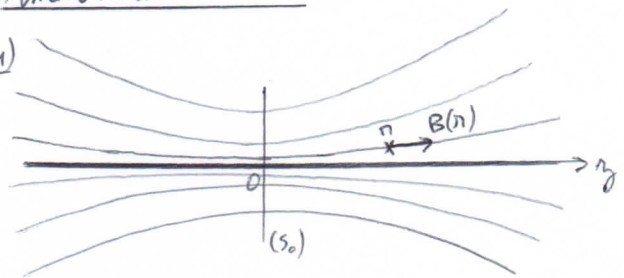
$$= i \left(\oint d\vec{l} \right) \wedge \vec{B}$$

\vec{B} supposé uniforme

$$\Rightarrow \vec{F}_L = \vec{0}$$

4) Amélioration du modèle:

4-1)



* L'axe (Oz) est une ligne de champ car sur cet axe, $\vec{B} \propto \vec{e}_z$ (cf 1-1)

* Le plan contenant la spire est plan de symétrie de la distribution de courant, or \vec{B} est un pseudo-vecteur \Rightarrow sur ce plan, $\vec{B} \perp$ à ce plan

* Plus on est proche de la spire, plus $\|\vec{B}\|$ est grand, et donc, plus les lignes de champ sont "serres".

4-2) Le plan contenant Π et l'axe (Oz) est plan d'antisymétrie de la distribution de courant. Or \vec{B} est un pseudo-vecteur $\Rightarrow \vec{B}(\Pi) \perp$ à ce plan $\Rightarrow B_\theta = 0$

4-3) Si Π est au voisinage de l'axe (Oz), alors la ligne de champ passant par Π est très peu inclinée par rapport à (Oz) $\Rightarrow \vec{B}(\Pi)$ est quasiment porté par $\vec{e}_z \Rightarrow$ on peut assimiler la composante axiale $B_z(\Pi)$ à $B_z(z)$ déterminée en 1-2.

4-4) Le flux du champ magnétique à travers une surface fermée est nul :

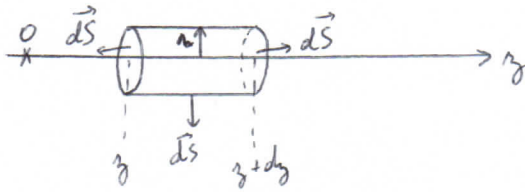
$$\oint_S \vec{B} \cdot d\vec{S} = 0 \quad \forall S$$

$$= \iiint_V \text{div } \vec{B} \, dV = 0 \quad \forall V$$

$$\text{div } \vec{B} = 0$$

(équation de Maxwell-flux ou Maxwell-Thomson)

4-5)



$$\oint_S \vec{B} \cdot d\vec{S} = 0 = \iint_{\text{base } z} \vec{B} \cdot d\vec{S} + \iint_{\text{base } z+dz} \vec{B} \cdot d\vec{S} + \iint_{S_{\text{latérale}}} \vec{B} \cdot d\vec{S}$$

* base en z : $d\vec{S} = -dS \vec{u}_z$

* base en $z+dz$: $d\vec{S} = +dS \vec{u}_z$

* surface latérale : $d\vec{S} = +dS \vec{u}_r$

$$\Rightarrow 0 = \iint_{\text{base } z} (B_r \vec{u}_r + B_z \vec{u}_z) \cdot (-dS \vec{u}_z)$$

$$+ \iint_{\text{base } z+dz} (B_r \vec{u}_r + B_z \vec{u}_z) \cdot dS \vec{u}_z$$

$$+ \iint_{S_{\text{lat}}} (B_r \vec{u}_r + B_z \vec{u}_z) \cdot dS \vec{u}_r$$

$$\Rightarrow 0 = B_z (-\pi a^2) + B_z \pi a^2 + B_r 2\pi a dz$$

$$\Rightarrow \underbrace{(B_z + dz) - B_z}_d B_z a + 2 B_r dz = 0$$

$$\Rightarrow B_r(r) = -\frac{r}{2} \frac{dB_z}{dz}$$

$$4-6) B_z = \frac{\mu_0 a^2 I_0 \cos \omega t}{2(a^2 + z^2)^{3/2}}$$

$$\Rightarrow \frac{dB_z}{dz} = \frac{\mu_0 a^2 I_0 \cos \omega t}{2} \left(-\frac{3}{2}\right) \frac{1}{(a^2 + z^2)^{5/2}} 2z$$

$$\frac{dB_z}{dz} = -\frac{3\mu_0 a^2 z I_0 \cos \omega t}{2(a^2 + z^2)^{5/2}}$$

$$\Rightarrow B_r(r) = \frac{3\mu_0 a^2 z r I_0 \cos \omega t}{4(a^2 + z^2)^{5/2}}$$

$$\Rightarrow B_r(r, a) = \frac{3\mu_0 a^3 r I_0 \cos \omega t}{4(2a^2)^{5/2}}$$

$$= \frac{3\mu_0 r I_0 \cos \omega t}{16\sqrt{2} a^2}$$

$$B_r(r, a) = \frac{r}{a} B_1 \cos \omega t$$

$$\text{avec } B_1 = \frac{3\mu_0 I_0}{16\sqrt{2} a} = \frac{3}{4} B_0$$

Plus r augmente (plus on s'éloigne de l'axe), et plus B_r augmente : les lignes de champ sont de + en + courbées quand on s'éloigne de l'axe \Rightarrow OK.

$$4-7) d\vec{F}_L = i d\vec{l} \wedge \vec{B}$$

$$\vec{F}_L = \oint_{(S)} i d\vec{l} \wedge \vec{B} = \oint_{(S)} (i d\vec{l} \wedge (B_r \vec{u}_r + B_z \vec{u}_z))$$

$$= \oint_{(S)} (i d\vec{l} \wedge B_r \vec{u}_r) + i \left(\oint_{(S)} d\vec{l} \right) \wedge B_z \vec{u}_z$$

car $B_z \vec{u}_z$ est uniforme sur (S)

idem 3)

$$\vec{F}_L = \oint_{(S)} i d\vec{l} \wedge B_r \vec{u}_r = \oint_{(S)} -i B_r dl \vec{u}_z$$

$$\vec{F}_L = -i \oint_{(S)} \left(\frac{r}{a} B_1 \cos \omega t \right) (l dt) \vec{u}_z$$

\uparrow $2\pi r$

$$\vec{F}_L = -\frac{2\pi r^2 B_1 I}{a} \cos(\omega t) \sin(\omega t - t) \vec{u}_z$$

Une N spires :

$$\vec{F}_L = - \frac{N 2\pi b^2 B_1 I}{a} \cos(\omega t) \sin(\omega t - t) \vec{u}_z$$

ou $\sin(a-b) = \sin a \cos b - \sin b \cos a$

$\Rightarrow \sin(\omega t - t) = \sin \omega t \cos t - \sin t \cos \omega t$

$\Rightarrow \cos(\omega t) \sin(\omega t - t) = \underbrace{\cos \omega t \sin \omega t \cos t - \sin t \cos^2 \omega t}_{\frac{\sin 2\omega t}{2}}$

ou $\langle \sin 2\omega t \rangle_T = 0$ et $\langle \cos^2 \omega t \rangle_T = \frac{1}{2}$
de période $\frac{T}{2}$

$$\Rightarrow \langle \vec{F}_L \rangle = \frac{N 2\pi b^2 B_1 I \sin t}{a} \vec{u}_z$$

4-8) Si $R \gg L\omega$, alors $I e^{-j\omega t} = \frac{E_0}{R + j\omega L}$

$\Rightarrow t=0 \Rightarrow \sin t=0$

$$\Rightarrow \langle \vec{F}_L \rangle = \vec{0}$$

$$\vec{F}_L = - \frac{N 2\pi b^2 B_1 I}{a} \sin \omega t \vec{u}_z$$

si les effets résistifs masquent les phénomènes dus à l'auto-induction.

4-9) $\langle F_L \rangle = 6 \cdot 10^{-5} \text{ N}$

5) Autre point de vue :

5-1) $\vec{m} = i(t) \vec{S} \times \vec{N} \Rightarrow \vec{m} = N 2\pi b^2 i(t) \vec{u}_z$

5-2) $\vec{f} = m \frac{dB}{dz}$

ou $B_1 = -\frac{\mu_0}{2} \frac{dB(z)}{dz} = B_1(r, a) = \frac{\mu_0}{2} B_1 \cos \omega t$
en C, $r=a$

$$\Rightarrow \frac{dB}{dz} = -\frac{\mu_0}{a} B_1 \cos \omega t \vec{u}_z$$

$$\Rightarrow \vec{f} = N 2\pi b^2 I \sin(\omega t - t) \left(-\frac{\mu_0}{a} B_1 \cos \omega t \vec{u}_z \right)$$

$$\Rightarrow \vec{f} = - \frac{N 2\pi b^2 B_1 I}{a} \cos(\omega t) \sin(\omega t - t) \vec{u}_z$$

$$\Rightarrow \langle \vec{f} \rangle = \frac{N 2\pi b^2 B_1 I \sin t}{a} \vec{u}_z$$

On retrouve bien les mêmes expressions que précédemment.

5-3) a) référentiel : laboratoire supposé galiléen

système : bobine

inventaire des actions extérieures :

* poids de la bobine : $m\vec{g} = -mg\vec{e}_z \downarrow m\vec{g}$

* force moyenne de Laplace : $F(z)\vec{e}_z \uparrow F(z)\vec{e}_z$

à l'équilibre : $\Sigma \vec{F}_{ext} = \vec{0} \Rightarrow F(z_e) = mg$

* Si m diminue, mg diminue $\Rightarrow F(z_e)$ diminue

ou sur l'intervalle utilisé en z , $F(z)$ est décroissante

$\Rightarrow z_e$ augmente

\Rightarrow Si on utilise un matériau plus léger pour les spires de la bobine, l'altitude d'équilibre sera plus élevée.

5-3) b) si z augmente à partir de z_e , $F(z) \uparrow$
diminue
 \Rightarrow la bobine descend ($mg > F$)
monte ($mg < F$)

\Rightarrow l'équilibre est stable.

6) Champ total :

6-1) Soit \vec{B}_s le champ magnétique créé par la spire (S) parcourue par le courant $i(t)$.

Or on a vu à la question 4-3) qu'on peut assimiler la composante axiale $B_{sz}(r)$ à $B_s(z)$ déterminée en 1-2).

$$\Rightarrow \phi_{\text{propre}} = N \iint_{(S)} \vec{B}_S \cdot d\vec{S} = N \iint B_S(z) dS$$

\uparrow N spires \uparrow $\propto \vec{e}_z$ \downarrow N spires
 $z=0$ (en C), or a $B_S = \frac{\mu_0 b^2 i}{2(b^2+z^2)^{3/2}} \times N = \frac{\mu_0 i N}{2b}$
 \uparrow $z=0$

$$\phi_{\text{propre}} = N \frac{\mu_0 N i}{2b} \iint dS = \frac{\mu_0 N^2 \pi b^2}{2b} i$$

$$= \frac{\mu_0 N^2 \pi b}{2} i = L i$$

$$\Rightarrow L = \frac{\mu_0 N^2 \pi b}{2}$$

6.2) $I = \frac{E_0}{\sqrt{R^2 + L^2 \omega^2}} = \frac{E_0}{L\omega} = \frac{2E_0}{\mu_0 N^2 \pi b \omega}$

$R=0$ $= \frac{2b B_0}{\mu_0 N}$

$$P = \text{Auctan} \frac{L\omega}{R} \xrightarrow{R \rightarrow 0} \frac{\pi}{2}$$

$$\Rightarrow \sin(\omega t - P) = \sin(\omega t - \frac{\pi}{2}) = -\cos \omega t$$

$$\Rightarrow i(t) = -\frac{2b B_0}{\mu_0 N} \cos \omega t$$

6.3) $\vec{B}_S(0) = \frac{\mu_0 N i}{2b} \vec{e}_z$

\uparrow $\phi(6.1)$

$$\Rightarrow \vec{B}_S(0) = -B_0 \cos \omega t \vec{e}_z$$

$$* \vec{B}_{S_0}(0) = \frac{\mu_0 a^2 I_0 \cos \omega t}{2(a^2+z^2)^{3/2}} \vec{e}_z \quad \text{avec } z=0$$

$$= \frac{\mu_0 I_0 \cos \omega t}{2a} \vec{e}_z$$

$$a B_0 = \frac{\mu_0 I_0}{4\sqrt{2}a} \Rightarrow \frac{\mu_0 I_0}{2a} = 2\sqrt{2} B_0$$

$$\Rightarrow \vec{B}_{S_0}(0) = 2\sqrt{2} B_0 \cos \omega t \vec{e}_z$$

$$\vec{B}_{\text{total}}(0) = \vec{B}_{S_0}(0) + \vec{B}_S(0)$$

$$\Rightarrow \vec{B}_{\text{total}} = (2\sqrt{2} - 1) B_0 \cos \omega t \vec{e}_z$$

On pouvait prévoir cet effet grâce à la loi de Lenz:

$$\vec{B}_{S_0} \propto \cos \omega t \vec{e}_z$$

$$\vec{B}_S \propto -\cos \omega t \vec{e}_z$$

Ainsi, si $\phi_S(\vec{B}_{S_0}) > 0$ et \nearrow , $\phi_S(\vec{B}_S) < 0$ et \searrow
 > 0 et \searrow < 0 et \nearrow
 < 0 et \nearrow > 0 et \searrow
 < 0 et \searrow > 0 et \nearrow

$\Rightarrow \vec{B}_S$ est de sens opposé à \vec{B}_{S_0} .

Par ses effets électromagnétiques, \vec{B}_S s'oppose à la cause qui lui a donné naissance (\vec{B}_{S_0}).

C'est une loi de motivation.

$$\vec{B}_{\text{total}} \propto \cos \omega t \vec{e}_z, \text{ tout comme } \vec{B}_{S_0},$$

$$\text{mais } \|\vec{B}_{\text{total}}\| < \|\vec{B}_{S_0}\|.$$

DEUXIEME PROBLEME: lévitation magnétique
(d'après banque PT 2010)

II) Effets volumiques:

1) Modèle sommaire:

1-1) * Le champ créé par la spire (S_0) dépend de r (cf I)

⇒ il faut $h \ll a$ pour considérer

que le champ appliqué est uniforme.

* Le champ créé par la spire (S_0) a une composante suivant \vec{u}_r (cf I). Cette composante est négligeable devant la composante suivant \vec{u}_z si on est "proche" de l'axe.

⇒ il faut $b \ll a$

* Enfin, il faut que l'épaisseur de peau δ soit très grande devant b pour considérer que le champ est uniforme dans le cylindre

⇒ $b \ll \delta$

1-2) C'est l'équation de Maxwell-Faraday qui traduit le phénomène d'induction:

$$\vec{\text{rot}} \vec{E} = - \frac{\partial \vec{B}}{\partial t}$$

1-3) * $\vec{B} = B_0 \cos \omega t \vec{e}_z \Rightarrow$ le plan contenant Π et

l'axe (Oz) est un plan de symétrie pour \vec{B} .

C'est donc un plan d'antisymétrie pour la distribution de courant (car \vec{B} est un pseudo-vecteur). Or \vec{E} est un vecteur polaire

⇒ $\vec{E}(\Pi) \perp$ à ce plan ⇒ $\vec{E}(\Pi) = E \vec{u}_0$

⇒ le champ électrique dans le cylindre est orthoradial.

$$\vec{\text{rot}} \vec{E} = \begin{vmatrix} \frac{1}{r} \frac{\partial E_r}{\partial \theta} - \frac{\partial E_\theta}{\partial r} \\ \frac{\partial E_r}{\partial z} - \frac{\partial E_z}{\partial r} \\ \frac{1}{r} \left(\frac{\partial (r E_\theta)}{\partial r} - \frac{\partial E_r}{\partial \theta} \right) \end{vmatrix} = \begin{vmatrix} 0 \\ -\frac{\partial B}{\partial t} \\ -\frac{dB}{dt} \end{vmatrix}$$

composante suivant $r \Rightarrow \frac{\partial E_\theta}{\partial r} = \frac{\partial E_r}{\partial z} = 0$

⇒ $E(r, \theta, z, t)$

ce qui est logique car on a supposé que $B(\vec{b})$ ($h \ll a$), on doit donc aussi le supposer pour E .

* composante suivant $z \Rightarrow \frac{1}{r} \frac{\partial (r E_\theta)}{\partial r} = -\frac{dB}{dt}$

$$\Rightarrow \frac{1}{r} \frac{\partial (r E)}{\partial r} = -\frac{dB}{dt}$$

* on a invariance de la distribution de courant dans la spire (S_0) par rotation autour de (Oz)

⇒ idem pour $\vec{B} \Rightarrow$ idem pour \vec{E}

⇒ $E(r, \phi, z, t)$

$$\Rightarrow \vec{E} = E(r, t) \vec{u}_\theta$$

* $\frac{1}{r} \frac{\partial (r E)}{\partial r} = -\frac{dB}{dt} = + B_0 \omega \sin \omega t$

$$\Rightarrow \frac{\partial (r E)}{\partial r} = r B_0 \omega \sin \omega t$$

$$\Rightarrow r E = \frac{r^2}{2} B_0 \omega \sin \omega t + K \vec{e}_r \quad (E \neq 0 \text{ à } r=0)$$

$$\Rightarrow \vec{E} = \frac{B_0 \omega}{2} r \sin \omega t \vec{e}_\theta = K r \sin \omega t \vec{e}_\theta$$

avec $K = \frac{B_0 \omega}{2}$

* 2^{ème} méthode: $\vec{\text{rot}} \vec{E} = -\frac{\partial \vec{B}}{\partial t} = -\frac{dB}{dt} \vec{e}_z$ (\vec{B} uniforme)

$$\Rightarrow \iint_S \vec{\text{rot}} \vec{E} \cdot d\vec{S} = \oint_C \vec{E} \cdot d\vec{l} = \iint_S -\frac{dB}{dt} \cdot d\vec{S}$$

théorème de Stokes \vec{B} uniforme $= -\frac{dB}{dt} \cdot \vec{S}$

\mathcal{C} : cercle d'axe (Oz) de rayon a (orienté positivement autour de (Oz))
 S : disque qui s'appuie sur \mathcal{C}

$$\oint_{\mathcal{C}} \vec{E} \cdot d\vec{l} = \int_{\mathcal{C}} E(r,t) \vec{e}_\theta (+dl \vec{e}_\theta) = E(r,t) \oint_{\mathcal{C}} dl = E(r,t) 2\pi a$$

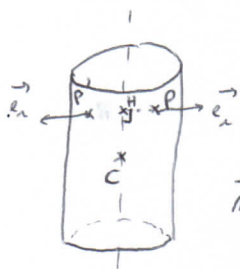
orientation \uparrow
 $r = ct$
 sur \mathcal{C} fine de temps

$$-\frac{d\vec{B}}{dt} \cdot \vec{S} = +B_0 \omega \sin \omega t \vec{e}_z \cdot \pi a^2 \vec{e}_z = B_0 \omega \pi a^2 \sin \omega t$$

$$\Rightarrow E = \frac{B_0 \omega}{2} r \sin \omega t \quad \text{OK on retrouve le même résultat.}$$

1-4) loi d'Ohm locale: $\vec{j} = \gamma \vec{E}$

$$\vec{m} = \frac{1}{2} \iiint \vec{C}P \wedge \vec{j}(P) dT$$



$$\vec{m} = \frac{1}{2} \iiint (\vec{C}H + \vec{H}P) \wedge \vec{j}(P) dT$$

$$\vec{m} = \frac{1}{2} \iiint \vec{C}H \wedge \vec{j}(P) dT + \frac{1}{2} \iiint \vec{H}P \wedge \vec{j}(P) dT$$

Soit P' le symétrique de P par rapport à (Oz)

$$\vec{C}H \wedge \vec{j}(P) = \vec{C}H \wedge \gamma E(r,t) \vec{e}_\theta = \gamma E(r,t) \vec{C}H (-\vec{e}_z)$$

$$\vec{C}H \wedge \vec{j}(P') = \gamma E(r,t) \vec{C}H (-\vec{e}_z)$$

$$\Rightarrow \vec{C}H \wedge \vec{j}(P) + \vec{C}H \wedge \vec{j}(P') = \vec{0}$$

$$\Rightarrow \frac{1}{2} \iiint \vec{C}H \wedge \vec{j}(P) dT = \vec{0}$$

$$\Rightarrow \vec{m} = \frac{1}{2} \iiint \vec{H}P \wedge \vec{j}(P) dT \Rightarrow \vec{m} \propto \vec{e}_z$$

(logique car les courants tournent autour de (Oz))

$$\vec{m} = \frac{1}{2} \iiint (r \vec{e}_r) \wedge (\gamma E(r,t) \vec{e}_\theta) r dr dt dz \vec{e}_z$$

$$= \frac{1}{2} \iiint \gamma \frac{B_0 \omega}{2} \sin \omega t r^3 dr dt dz \vec{e}_z$$

$$= \frac{1}{4} \gamma B_0 \omega \sin \omega t \int_0^b r^3 dr \int_0^{2\pi} dt \int_{-\frac{h}{2}}^{+\frac{h}{2}} dz \vec{e}_z$$

$$m = \frac{\gamma B_0 \omega b^4 \pi h}{8} \sin \omega t \vec{e}_z$$

1-5) $\sin \omega t \cos \omega t = \frac{\sin 2\omega t}{2}$

$\alpha \langle \sin 2\omega t \rangle = 0$

$$\Rightarrow \langle \vec{F} \rangle = \vec{0}$$

On ne retrouve pas le même résultat qu'en I) 4) et 5), car ici on n'a pas pris en compte le champ magnétique induit par les courants induits dans le cylindre.

Cela revient à négliger l'auto-induction dans la partie I), donc $L=0$, donc $\tau = \text{Arctan} \frac{L\omega}{R} = 0$, donc $\sin \tau = 0$, donc $\langle \vec{F} \rangle = \frac{N\pi b^2 B_0 I}{a} \sin \tau \vec{e}_z = \vec{0}$

1-6) équation de Maxwell-Ampère: $\text{rot } \vec{B} = \mu_0 \vec{j} + \mu_0 \epsilon_0 \frac{\partial \vec{E}}{\partial t}$

$$\text{rot } \vec{B}_i = \mu_0 \left(\gamma \vec{E} + \epsilon_0 \frac{\partial \vec{E}}{\partial t} \right) = \mu_0 \vec{j}$$

négligeable dans l'ARQS

\Rightarrow on peut utiliser le théo d'Ampère:

$$\oint_{\mathcal{C}} \vec{B}_i \cdot d\vec{l} = \mu_0 \iint_S \vec{j} \cdot d\vec{S}$$

* Le plan contenant Π et l'axe (Oz) est plan d'antisymétrie de la distribution de courant. Or \vec{B} est un pseudo-vecteur $\Rightarrow \vec{B}(\Pi) \in$ à ce plan $\Rightarrow B_\theta = 0$

$$\Rightarrow \vec{B}_i = B_r \vec{e}_r + B_z \vec{e}_z$$

* On a invariance de la distribution de courant par rotation autour de $(Oz) \Rightarrow \vec{B}_i(r, \theta, z, t)$
 * De même que l'on a supposé que \vec{B}_i était uniforme et ne dépendait pas de z dans le cylindre, il faut supposer que \vec{B}_i ne dépend pas de $z \Rightarrow \vec{B}_i(r, \theta, z, t)$ à l'intérieur du cylindre ($h \ll a$)

* De même que l'on a supposé que \vec{B}_0 n'avait pas de composante suivant \vec{u}_z ($b \ll a$), il faut supposer que \vec{B}_i n'a pas de composante suivant \vec{u}_z

$$\Rightarrow B_z = 0$$

$$\Rightarrow \vec{B}_i = B_i(r, t) \vec{u}_\phi$$

* 1^{ère} méthode: équation de Maxwell-Ampère:

$$\text{rot } \vec{B}_i = \mu_0 \vec{j} = \mu_0 \gamma \vec{E} = \frac{\mu_0 \gamma \omega B_0}{2} r \sin \omega t \vec{e}_\phi$$

$$\text{rot } \vec{B}_i = \begin{pmatrix} \frac{1}{r} \frac{\partial B_\phi}{\partial r} - \frac{\partial B_r}{\partial \phi} \\ \frac{\partial B_r}{\partial \phi} - \frac{\partial B_\phi}{\partial r} \\ \frac{1}{r} \left(\frac{\partial (r B_\phi)}{\partial r} - \frac{\partial B_r}{\partial \phi} \right) \end{pmatrix}$$

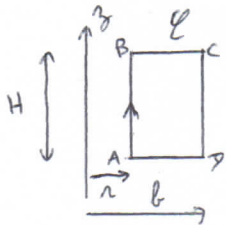
$$\Rightarrow \frac{\partial B_i}{\partial r} = - \frac{\mu_0 \gamma \omega B_0}{2} r \sin \omega t$$

$$\Rightarrow B_i = - \frac{\mu_0 \gamma \omega B_0 r^2}{4} \sin \omega t + K$$

$$\text{car } B_i(r=b) = 0$$

$$\Rightarrow \vec{B}_i = B_0 \frac{\mu_0 \gamma \omega}{4} (b^2 - r^2) \sin \omega t \vec{u}_\phi$$

* 2^{ème} méthode: théorème d'Ampère: $\oint_{\mathcal{L}} \vec{B}_i \cdot d\vec{l} = \mu_0 \iint_S \vec{j} \cdot d\vec{S}$



S: surface plane qui s'appuie sur \mathcal{L}

$$\begin{aligned} \oint_{\mathcal{L}} \vec{B}_i \cdot d\vec{l} &= \int_A^B \vec{B}_i \cdot d\vec{l} + \int_B^C \vec{B}_i \cdot d\vec{l} + \int_C^D \vec{B}_i \cdot d\vec{l} + \int_D^A \vec{B}_i \cdot d\vec{l} \\ &= B_i(r, t) H - B_i(b, t) H \\ &= B_i(r, t) H \end{aligned}$$

$$\begin{aligned} \Rightarrow B_i(r, t) H &= \mu_0 \iint_S \vec{j} \cdot d\vec{S} = \mu_0 \iint_S \gamma \omega \frac{B_0}{2} r \sin \omega t \vec{e}_\phi \cdot \vec{e}_\phi \, r \, dr \, d\phi \\ &= \frac{\mu_0 \gamma \omega B_0}{2} \sin \omega t \underbrace{\int_a^b r \, dr}_{\frac{b^2 - r^2}{2}} \underbrace{\int_0^H d\phi}_H \end{aligned}$$

$$\Rightarrow \vec{B}_i = B_0 \frac{\mu_0 \gamma \omega}{4} (b^2 - r^2) \sin \omega t \vec{u}_\phi$$

$$1.1) \|\vec{B}_i\| = B_0 \frac{\mu_0 \gamma \omega}{4} (b^2 - r^2) \sin \omega t$$

$$\ll \|\vec{B}\| = B_0 \cos \omega t$$

$$\text{si } \frac{\mu_0 \gamma \omega}{4} (b^2 - r^2) \ll 1$$

$$\Rightarrow \frac{\mu_0 \gamma \omega}{4} b^2 \ll 1 \Rightarrow \mu_0 \gamma \omega b^2 \ll 1$$

$$\Rightarrow b \ll \frac{1}{\sqrt{\mu_0 \gamma \omega}} < \lambda = \sqrt{\frac{2}{\mu_0 \gamma \omega}}$$

et alors on peut négliger le champ induit \vec{B}_i devant le champ inducteur \vec{B} .

2) Amélioration du modèle: étude de l'effet de peau:

2.1) équation de Maxwell-flux: $\text{div } \vec{B} = 0$

$$\text{Faraday: } \text{rot } \vec{E} = - \frac{\partial \vec{B}}{\partial t}$$

$$\text{Ampère: } \text{rot } \vec{B} = \mu_0 \vec{j} + \mu_0 \epsilon_0 \frac{\partial \vec{E}}{\partial t}$$

ou conducteur \Rightarrow loi d'Ohm locale: $\vec{j} = \gamma \vec{E}$

et de plus, dans l'ARQS, le courant de déplacement est négligeable devant le courant de conduction.

$$\Rightarrow \text{rot } \vec{B} = \mu_0 \gamma \vec{E}$$

$$\text{rot rot } \vec{B} = \text{grad div } \vec{B} - \Delta \vec{B}$$

$$= \text{rot } (\mu_0 \gamma \vec{E}) = \mu_0 \gamma \text{rot } \vec{E} = - \mu_0 \gamma \frac{\partial \vec{B}}{\partial t}$$

$$\Rightarrow \Delta \vec{B} = \mu_0 \gamma \frac{\partial \vec{B}}{\partial t}$$

2.2) Cette équation prend en compte les phénomènes d'auto-induction car les équations de Maxwell sont générales: \vec{B} est le champ magnétique total (inducteur + induit).

2-3) $\vec{B} = \underline{B}(x) e^{i\omega t} \vec{e}_3 \Rightarrow B_x = B_y = 0$
 $B_z = \underline{B}(x) e^{i\omega t}$

$$\vec{\Delta} \underline{B} = \mu_0 \gamma \begin{pmatrix} \frac{\partial B_x}{\partial x} \\ \frac{\partial B_y}{\partial y} \\ \frac{\partial B_z}{\partial z} \end{pmatrix} = \mu_0 \gamma \begin{pmatrix} \frac{\partial B_x}{\partial x} \\ \frac{\partial B_y}{\partial y} \\ \frac{\partial B_z}{\partial z} \end{pmatrix}$$

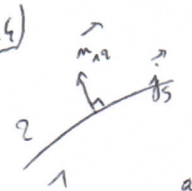
$\Rightarrow \Delta B_z = \mu_0 \gamma \frac{\partial B_z}{\partial z} \Rightarrow \Delta B = \mu_0 \gamma \frac{\partial B}{\partial z}$

$\Rightarrow \frac{\partial^2 B}{\partial x^2} + \frac{\partial^2 B}{\partial y^2} + \frac{\partial^2 B}{\partial z^2} = \mu_0 \gamma \frac{\partial B}{\partial z}$

$\Rightarrow \frac{d^2 \underline{B}(x)}{dx^2} e^{i\omega t} = \mu_0 \gamma \underline{B}(x) i\omega e^{i\omega t}$

$\Rightarrow \frac{d^2 \underline{B}(x)}{dx^2} - i \mu_0 \gamma \omega \underline{B}(x) = 0$

$\Rightarrow \frac{d^2 \underline{B}(x)}{dx^2} - \frac{(1+i)^2}{2} \mu_0 \gamma \omega \underline{B}(x) = 0$

2-4)  $\vec{B}_2 - \vec{B}_1 = \mu_0 \vec{j}_s \wedge \vec{n}_{x2}$

avec \vec{B}_1 : chp mg infiniment près de la surface du côté 1

\vec{n}_{x2} : vecteur unitaire normal à la surface

\vec{j}_s : densité de courant surfacique.

Ici, on prend un modèle volumique pour les courants dans le conducteur ($\delta \neq 0$) $\Rightarrow \vec{j}_s = \vec{0}$

\Rightarrow a a continuité de \vec{B} en $x=0$

$\Rightarrow \underline{B}(0) = B_0$

2-5) équation caractéristique: $r^2 - (1+i)^2 \frac{\mu_0 \gamma \omega}{2} = 0$

on pose $\delta = \sqrt{\frac{2}{\mu_0 \gamma \omega}}$ (épaisseur de peau en mètre)

$\Rightarrow r^2 - \left(\frac{1+i}{\delta}\right)^2 = 0 \Rightarrow r = \pm \frac{1+i}{\delta}$

$\Rightarrow \underline{B}(x) = K_1 e^{(1+i)\frac{x}{\delta}} + K_2 e^{-(1+i)\frac{x}{\delta}}$
 $= K_1 e^{\frac{x}{\delta}} e^{i\frac{x}{\delta}} + K_2 e^{-\frac{x}{\delta}} e^{-i\frac{x}{\delta}}$

or $e^{\frac{x}{\delta}} \xrightarrow{x \rightarrow \infty} \infty$ et $\underline{B}(x) \not\rightarrow \infty !!$

$\Rightarrow K_1 = 0$

$\Rightarrow \underline{B}(x) = K_2 e^{-\frac{x}{\delta}} e^{-i\frac{x}{\delta}}$

$\Rightarrow \underline{B} = \underline{B}(x) e^{i\omega t} = K_2 e^{-\frac{x}{\delta}} e^{i(\omega t - \frac{x}{\delta})}$

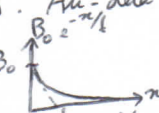
$\Rightarrow B(x, t) = K_2 e^{-\frac{x}{\delta}} \cos(\omega t - \frac{x}{\delta})$

or $B(0, t) = B_0 \cos \omega t = K_2 e^0 \cos(\omega t - 0)$

$\Rightarrow K_2 = B_0$

$\Rightarrow \underline{B}(x, t) = B_0 e^{-\frac{x}{\delta}} \cos(\omega t - \frac{x}{\delta})$

L'amplitude $B_0 e^{-x/\delta}$ décroît et le champ magnétique a une amplitude importante sur une épaisseur de l'ordre de quelques δ . Au-delà, le champ magnétique est quasiment nul.



L'épaisseur de peau est en mètre $\left(\frac{d^2 \underline{B}(x)}{dx^2} - (1+i)^2 \frac{\underline{B}(x)}{\delta^2} = 0\right)$
 $\Rightarrow \delta$ en mètre.

2-6) Dans l'ARQS, on a $\text{rot } \vec{B} = \mu_0 \vec{j}$

$\text{rot } \vec{B} = \begin{pmatrix} \frac{\partial}{\partial x} \\ \frac{\partial}{\partial y} \\ \frac{\partial}{\partial z} \end{pmatrix} \wedge \begin{pmatrix} B_x \\ B_y \\ B_z \end{pmatrix} = \begin{pmatrix} 0 \\ -\frac{\partial B_z}{\partial x} \\ 0 \end{pmatrix} = \mu_0 \vec{j}$

$\Rightarrow \vec{j} = -\frac{1}{\mu_0} \frac{\partial B(x, t)}{\partial x} \vec{e}_y$

$\vec{j} = -\frac{1}{\mu_0} \left[-\frac{1}{\delta} B_0 e^{-\frac{x}{\delta}} \cos(\omega t - \frac{x}{\delta}) + \frac{1}{\delta} B_0 e^{-\frac{x}{\delta}} \sin(\omega t - \frac{x}{\delta}) \right] \vec{e}_y$

$\vec{j} = \frac{B_0}{\mu_0 \delta} e^{-\frac{x}{\delta}} \left[\cos(\omega t - \frac{x}{\delta}) - \sin(\omega t - \frac{x}{\delta}) \right] \vec{e}_y$

$$2-7) d\vec{F}_L = \vec{j} dT \wedge \vec{B} \quad \propto \vec{e}_x$$

$\vec{j} \propto \vec{e}_y$ $\vec{B} \propto \vec{e}_z$

$$\Rightarrow d\vec{F}_L = \frac{B_0^2}{\mu_0 d} e^{-\frac{2x}{d}} \left[\cos^2\left(\omega t - \frac{x}{d}\right) - \cos\left(\omega t - \frac{x}{d}\right) \sin\left(\omega t - \frac{x}{d}\right) \right] \times dT \vec{e}_x$$

$$\langle \cos^2\left(\omega t - \frac{x}{d}\right) \rangle = \frac{1}{2}$$

$$\langle \cos\left(\omega t - \frac{x}{d}\right) \sin\left(\omega t - \frac{x}{d}\right) \rangle = \langle \frac{\sin\left[2\left(\omega t - \frac{x}{d}\right)\right]}{2} \rangle = 0$$

$$\Rightarrow \langle d\vec{F}_L \rangle = \frac{B_0^2}{2\mu_0 d} e^{-\frac{2x}{d}} dT \vec{e}_x$$

$$2-8) dT = dx dy dz \quad \iint dy dz = S$$

$$\langle \vec{F}_L \rangle = \int_0^{+\infty} \frac{B_0^2}{2\mu_0 d} e^{-\frac{2x}{d}} S dx \vec{e}_x$$

$$= \frac{B_0^2 S}{2\mu_0 d} \left(-\frac{d}{2}\right) \left[e^{-\frac{2x}{d}} \right]_0^{+\infty} \vec{e}_x$$

0 - 1

$$\langle \vec{F}_L \rangle = \frac{B_0^2 S}{4\mu_0} \vec{e}_x$$

2-9) Toujours avec la géométrie simple des demi-espaces :

en $x=0^+$: (au voisinage du bord)

$$\vec{j} = \frac{B_0}{\mu_0 d} e^0 \left[\cos(\omega t - 0) - \sin(\omega t - 0) \right] \vec{e}_y$$

$$\vec{j} = \frac{B_0}{\mu_0 d} (\cos \omega t - \sin \omega t) \vec{e}_y$$

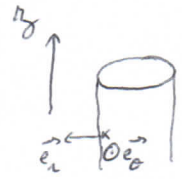
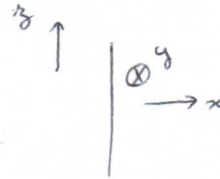
$$\alpha \sqrt{2} \cos\left(\omega t + \frac{\pi}{4}\right) = \sqrt{2} \left(\cos \omega t \underbrace{\cos \frac{\pi}{4}}_{\frac{\sqrt{2}}{2}} - \sin \omega t \underbrace{\sin \frac{\pi}{4}}_{\frac{\sqrt{2}}{2}} \right)$$

$$= \cos \omega t - \sin \omega t$$

$$\Rightarrow \vec{j} = \frac{B_0 \sqrt{2}}{\mu_0 d} \cos\left(\omega t + \frac{\pi}{4}\right) \vec{e}_y \quad \text{au voisinage du bord du conducteur.}$$

Ici : $d \ll b \Rightarrow$ on peut adopter le modèle des demi-espaces (// avec le fait que pour les hommes, la Terre semble plate !)

et alors $\vec{e}_y = -\vec{e}_0$



$$\Rightarrow \vec{j} = -\frac{B_0 \sqrt{2}}{\mu_0 d} \cos\left(\omega t + \frac{\pi}{4}\right) \vec{e}_0$$

2-10) Supposons que \vec{j} est uniforme sur l'épaisseur $\frac{d}{2}$

(ce qui n'est pas précisé dans l'énoncé ---)

$$i(t) = \iint_S \vec{j} \cdot d\vec{S} = \iint_S -\frac{B_0 \sqrt{2}}{\mu_0 d} \cos\left(\omega t + \frac{\pi}{4}\right) \vec{e}_0 \cdot (dh dl \vec{e}_0)$$

orientation positive au tour de (Oy)
 \uparrow \uparrow
 $\frac{d}{2}$ h

$$i(t) = -\frac{B_0 h}{\mu_0 \sqrt{2}} \cos\left(\omega t + \frac{\pi}{4}\right)$$

$$\vec{m} = i S \quad (\text{en supposant que } \vec{j} \text{ est nul si}$$

$r < b - \frac{d}{2}$, ce qui n'est pas précisé dans l'énoncé ---)

$$\vec{m} = i \pi b^2 \vec{u}_y$$

$$\Rightarrow \vec{m} = -\frac{B_0 \pi b^2 h}{\mu_0 \sqrt{2}} \cos\left(\omega t + \frac{\pi}{4}\right) \vec{u}_y$$

$$2-11) \vec{f} = m \frac{d\vec{B}}{dy} = -\frac{B_0 \pi b^2 h}{\mu_0 \sqrt{2}} \cos\left(\omega t + \frac{\pi}{4}\right)$$

$$\times \left(-\frac{3B_0}{2a} \cos \omega t \vec{e}_y \right)$$

$$\text{or } \cos a \cos b = \frac{\cos(a+b) + \cos(a-b)}{2}$$

$$\Rightarrow \cos\left(\omega t + \frac{\pi}{4}\right) \cos \omega t = \frac{\cos\left(2\omega t + \frac{\pi}{4}\right) + \cos \frac{\pi}{4}}{2}$$

$$\Rightarrow \vec{f} = \frac{3B_0^2 \pi b^2 h}{4\sqrt{2} \mu_0 a} \left[\cos\left(2\omega t + \frac{\pi}{4}\right) + \frac{\sqrt{2}}{2} \right] \vec{e}_z$$

$$\text{or } \langle \cos\left(2\omega t + \frac{\pi}{4}\right) \rangle = 0$$

$$\Rightarrow \langle \vec{f} \rangle = \frac{3B_0^2 \pi b^2 h}{8\mu_0 a} \vec{e}_z$$

$$\langle f \rangle = 5 \text{ N}$$

2-12) Un supraconducteur expulse les lignes de champ magnétique (effet Meissner).

La force qui s'exerce sur le supraconducteur est plus grande que la force qui s'exerce sur le conducteur.

Propriété mécanique?